SKOGANVÁRRI

2034 IV

NORGES GEOLOGISKE UNDERSØKELSE

BERGGRUNNSKART M 1:50 000 - FORELØPIG UTGAVE

NGU Norges geologiske undersøkelse

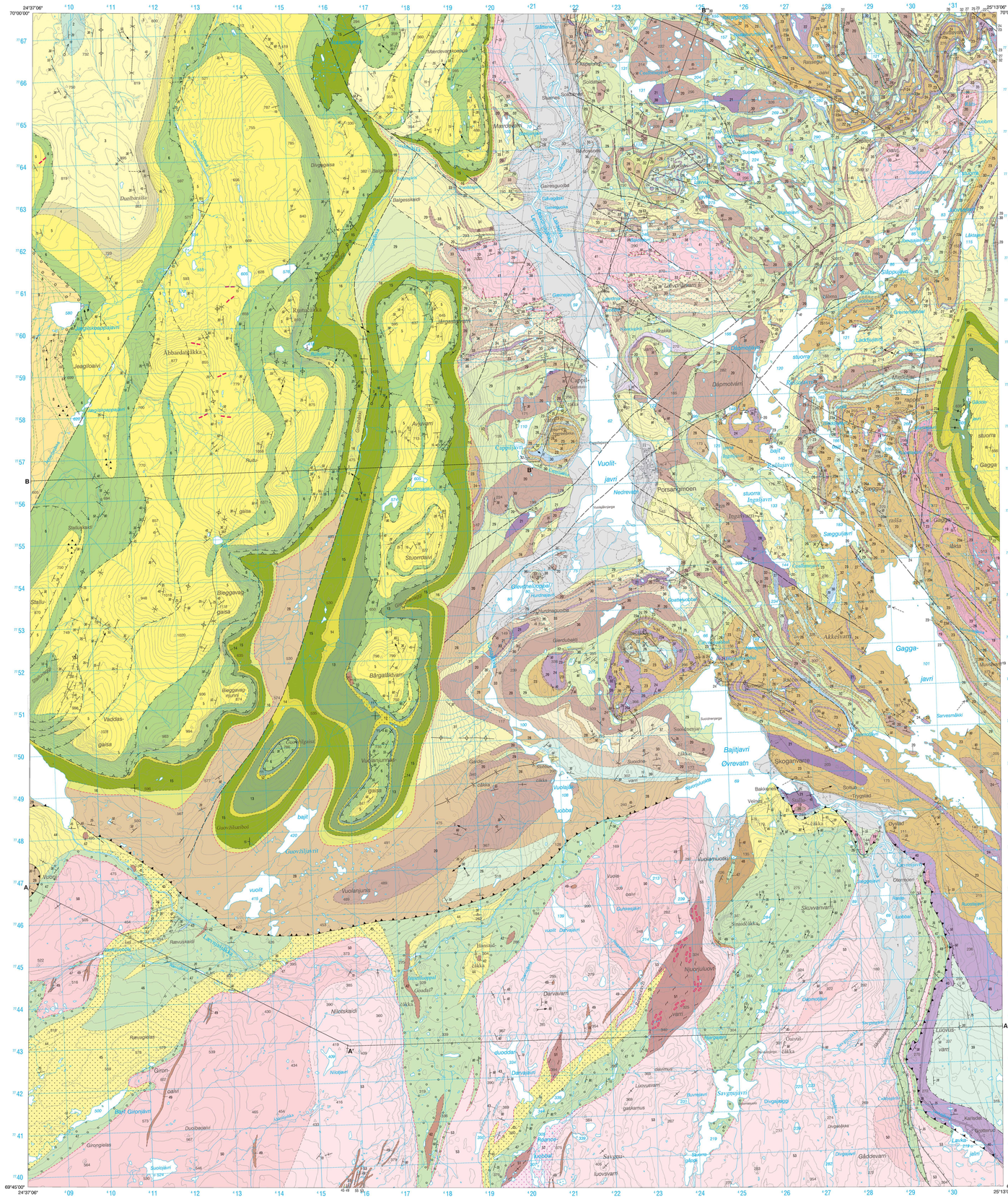

TEGNFORKLARING
LEGEND

LØSAVLEIRINGER FRA KVARTÆRTIDEN
SUPERFICIAL DEPOSITS OF QUATERNARY AGE

1 — Sand, slam, grus og leire (unndelt)
Sand, mud, gravel and clay (undifferentiated)

GÁISÁ-DEKKEKOMPLEKSET
MEGET SVAKT OMDANNEDE SEDIMENTÆRE BERGARTER FRA SENPROTEROZOISK TID FRAMSKJØVET UNDER DEN KALEDONSKE FJELLKJEDEDANNELSEN
GÁISÁ (GAISSA) NAPPE COMPLEX
VERY WEAKLY METAMORPHOSED SEDIMENTARY ROCKS OF NEOPROTEROZOIC AGE OVERTHRUST DURING THE CALEDONIAN OROGENY

TANAFJORDGRUPPEN
TANAFJORDEN GROUP

Vaggi-formasjonen
Vaggi (Vagge) Formation

2 — Slam- og leirskifer, mørkegrå til brun, i veksling med tynnbenket, grå-grønn, kvartsittisk sandstein
Muddy and clayey shale, dark grey to brown, interbedded with thin-bedded, greenish-grey quartzitic sandstone

Giemaš-formasjonen
Giemas (Gamasfjellet) Formation

3 — Kvartsitt, lysegrå til rosa, massiv, tykkbenket
Quartzite, light grey to pink, massive, thick-bedded

Dáhkočearru-formasjonen
Dáhkočearru (Dakkovarre) Formation

4 — Kvartsittisk sandstein, rødbrun, jernholdig, i veksling med mørkegrå leirskifer
Quartzitic sandstone, reddish-brown, ferruginous, interbedded with dark grey shale

Grønnesformasjonen
Grønneset Formation

5 — Kvartsittisk sandstein, hvit eller gulgrønn, tynnbenket, med uregelmessig lagdeling og opptreden av meget grovkornete til konglomeratiske lag
Quartzitic sandstone, white or yellow-green, thin-bedded, with irregular bedding and occurrences of very coarse-grained to gritty beds

6 — Gulgrønn sandstein og siamstein i veksling med grågrønn leirskifer og hvit kvartsittisk sandstein (Brennelvfjordleddet)
Yellow-green sandstone and mudstone interbedded with greenish-grey clayey shale and white quartzitic sandstone (Brennelvfjorden Member)

ÁIROAIVI-GRUPPEN
ÁIROAIVI GROUP

Oppdarasrášša-formasjonen
Oppdarasrášša Formation

7 8 9 — Konglomerat, lysegrå, rosa eller grønn, i middelstykke lag med feltspatrik sandig grunnmasse, og hvite kvarts- og mørke jaspisboller inntil 4 cm i tversnitt
Conglomerate, light grey, pink or green, in medium-thick beds, with feldspar-rich sandy matrix, and with pebbles of white quartz and red jasper up to 4 cm across

Navkaoaivi-formasjonen
Navkaoaivi Formation

8 — Sandstein, mørkegrå, tykkbenket, fin- til middelskornet, feltspatrik, i veksling med tynne pelittiske lag.
Strømfler og erosjons- og deformasjonsstrukturer forekommer
Sandstone, dark grey, thick-bedded, fine- to medium-grained, feldspathic, interbedded with thin-bedded pelite. Current ripples, erosional structures and soft-sediment deformation structures also present

Boldnerášša-formasjonen
Boldnerášša Formation

9 — Sandstein, tykkbenket og med utydelig lagning, mørkegrå eller fiolett, massiv, fin- til middelskornet, feltspatrik
Sandstone, thick-bedded and with indistinct bedding, dark grey or purple, massive, fine- to medium-grained, feldspar-rich

MAGMATISKE BERGARTER FRA ANTATT TIDLIGPROTEROZOISK TID, LOSREVET FRA GRUNNFJELLET
MAGMATIC ROCKS OF ASSUMED PALAEOPROTEROZOIC AGE, DERIVED FROM THE BASEMENT

10 — Omdannet basisk bergart
Metabasic rock

STEDEGNE, SEDIMENTÆRE BERGARTER FRA SENPROTEROZOISK TIL TIDLIGKAMBRISK TID
AUTOCHTHONOUS SEDIMENTARY ROCKS OF NEOPROTEROZOIC TO EARLY CAMBRIAN AGE

DIVIDALSGRUPPEN
DIVIDAL GROUP

11 — Skifer, sandig, rød-fiolett (ledd VI)
Shale, sandy, violet (member VI)

12 — Sandstein, grå med brune jernoksydprikker, finkornet (ledd V)
Sandstone, grey with rusty iron-oxide spots, fine-grained (member V)

13 — Leirskifer, grå eller brunlig, i veksling med grå sandsteinslag i ovre del (ledd IV)
Shale, clayey, grey or brown, interbedded with grey sandstone in the upper part (member IV)

14 — Sandstein, kvartsittisk, i tynne til middelstykke lag, grågrønnlig, fin- til middelskornet, laminert (ledd III)
Sandstone, quartzitic, thin- to medium-bedded, greenish-grey, fine- to medium-grained, laminated (member III)

15 — Leirskifer, blå-grønn og rødfiolett (ledd II)
Shale, clayey, blue-green and red-violet (member II)

16 — Sandstein, grå, fin- til grovkornet, feltspatrik, kvartskonglomerat ved bunnen (ledd I)
Sandstone, grey, fine- to coarse-grained, feldspathic, with quartz conglomerate at the base (member I)

VESTERTANAGRUPPEN
VESTERTANA GROUP

Mortensnesformasjonen
Mortensnes Formation

17 a — Konglomerat, grunnmassebåret med boller av amfibolitt, gneis og kvartsitt 1- 50 cm i tversnitt, antatt istreveksetning (tillitt)
Conglomerate, matrix-supported, with pebbles of amphibolite, gneiss and quartzite 1-50 cm across, assumed to be of glacial origin (tillitte)

KARASJOKGRØNNSTEINSBELTET OMDANNEDE SKJØVNE BERGARTER FRA TIDLIG-PROTEROZOISK TID, CA. 2100 - 2000 MILLIONER ÅR
KARASJOK GREENSTONE BELT
METAMORPHOSED ALLOCHTHONOUS ROCKS OF PALAEOPROTEROZOIC AGE, c. 2100 - 2000 MA

DYPBERGARTER
PLUTONIC ROCKS

18 — Dioritisk til leukogabbroid silregneis
Dioritic to leucogabbroic schlieren gneiss

19 — Granodioritt, leukokratisk; dioritt, leukogabbro
Granodiorite, leucocratic; diorite, leucogabbro

20 — Amfibolitt, middels- til grovkornet, markegrønn til sort, tolket som omdannet gabbro
Amphibolite, medium- to coarse-grained, dark grey to black, interpreted as metamorphosed gabbro

21 — Peridotitt/pyroksenitt, middels- til grovkornet (opptrer også som ganger 2-4 m i tykkelse)
Peridotite/pyroxenite, medium- to coarse-grained (occurs also as dykes 2-4 m in thickness)

IDJAJÁVRI-GRUPPEN: VULKANSKE OG SEDIMENTÆRE BERGARTER
IDJÁJÁVRI GROUP: VOLCANIC AND SEDIMENTARY ROCKS

Fossestrandformasjonen, minst 250 m mektig
Fossestrand Formation, at least 250 m thick

22 — Amfibol-klorittbergart, grå-grønn, massiv eller skiftrig, ofte med putestrukturer, tolket som omdannet ultramafisk lava (komatiitt)
Amphibole-chlorite rock, greenish-grey, massive or schistose, commonly with pillow structure, interpreted as metamorphosed ultramafic lava (komatiite)

Briltägielas-formasjonen, ca. 500 m mektig
Briltägielas Formation, c. 500 m thick

23 a — Amfibolitt, båndet, lysegrønn til sort, finkornet, stedvis granatførende, tolket som omdannet mafisk lava (tholeiittisk basalt) og vulkansk sediment / massiv kis, ruttsoner (a)
Amphibolite, banded, light grey to black, fine-grained, in places with garnet, interpreted as metamorphosed mafic lava (tholeiitic basalt) and volcanogenic sediment / massiv sulphide, rust zones (a)

24 — Amfibol-klorittbergart, grå-grønn, tolket som omdannet ultramafisk lava (komatiitt)
Amphibole-chlorite rock, greenish-grey, interpreted as metamorphosed ultramafic lava (komatiite)

25 — Intermediær, lysegrå båndet eller skiftrig bergart, fin- til middelskornet, plagioklas-rik, tolket som av vulkansk (andesitisk) sedimentær opprinnelse. Inneholder massiv kis og ruttsoner
Intermediate, light grey, banded or schistose rock, fine- to medium-grained, plagioclase-rich, interpreted as of volcano (andesitic) sedimentary origin. Contains massive sulphide and rust-coloured zones

26 a — Granatglimmerskifer/-gneis, biotittrik, til dels kalkholdig, med varierende mengde av granat og stedvis kyanitt og med karakteristisk brun vitringsoverflate. Tolket som omdannet, leirrik, sedimentær bergart / massiv kis, ruttsoner (a)
Garnet-mica schist/gneiss, biotite-rich, partly calcareous, with varying amounts of garnet and in places kyanite, and with a characteristic brown weathering surface. Interpreted as a metamorphosed clay-rich sedimentary rock / massive sulphide, rust zones (a)

27 — Dolomitt- og kalkspat-marmor, hvit-grå, grønnlig eller rød-fiolett, massiv eller skiftrig, inneholder tremolitt. Tolket som omdannede karbonatbergarter
Dolomite- and calcite-marble, white-grey, greenish-grey or red-violet, massive or schistose, contains tremolite. Interpreted as metamorphosed carbonate rocks

Čorgaš-formasjonen, ca. 600 m mektig
Čorgaš Formation, c. 600 m thick

28 — Amfibolitt, homogen, grå, fin- til middelskornet. Tolket som omdannet basaltisk lava
Amphibolite, homogeneous, grey, fine- to medium-grained. Interpreted as metamorphosed basaltic lava

29 — Skifer, kvarts- til feltspatrik - med noe amfibol-, glimmer-, karbonat-, flogopitt/klorittholdig skifer. Tolket som omdannet subarkose, arkose, gråvakke og litisk sandstein. Stedvis opptrer plagioklasrik skifer med sprelle fragmenter av ulike bergarter. Granatglimmergneis opptrer lokalt øverst
Schist, quartz- to feldspar-rich with subordinate amphibole-, mica-, carbonate-, phlogopite/chlorite-bearing schist. Interpreted as metamorphosed sub-arkose, arkose, greywacke and lithic sandstone. In places there is a plagioclase-rich schist with scattered fragments of various rocks
Garnet-mica schist occurs locally in the uppermost part

30 — Dolomitt- og kalkspatmarmor, hvit-grå, grønnlig eller rød-fiolett, massiv eller skiftrig, inneholder tremolitt. Tolket som omdannede, sedimentære karbonatbergarter
Dolomite- and calcite-marble, white-grey, greenish-grey or red-violet, massive or schistose, contains tremolite. Interpreted as metamorphosed sedimentary carbonate rocks

31 — Kvarts- og kvarts-feltspatskifer, finkornet, lysegrå til rosa, stedvis muskovittrik. Kvartsitt, særlig i syd, stedvis tuchsittførende. Tolket som kvartssandstein, litisk arenitt, subarkose og arkose. Amfibolitt kan opptre i nedre del (i SØ)
Quartz- and quartz-feldspar schist, light grey to pink, fine-grained, in places muscovite-rich. Quartzite, mostly in the south, in places tuchsite-bearing. Interpreted as quartz-sandstone, lithic arenite, sub-arkose and arkose. Amphibolite may occur in the lower part (in SE)

32 — Plagioklas-glimmerskifre med lag bærende brudostykker
Plagioclase-mica schist with beds containing clasts

Lavttevárri-formasjonen, over 150 m mektig
Lavttevárri (Láttivarri) Formation, more than 150 m thick

33 — Amfibolitt, båndet, grå-grønnlig til mørkegrå, finkornet, tildel granatførende. Tolket som omdannede overflatebergarter (primærvulkanske, vulkansk-sedimentære avleiringer. Det forekommer mindre mengder amfibolitt med høy Mg-innhold og komatiitt. I syd opptrer noe granatglimmergneis med store, røde granater
Amphibolite, banded, greenish-grey to dark grey, fine-grained, locally with garnet. Interpreted as metmorphosed supracrustal rocks dominated by mafic volcano-sedimentary deposits. Subordinate amphibolite with high Mg content and komatiite. Minor amounts of garnet-mica schist with large red garnets occur in the south

34 — Amfibol-kloritt bergart, grå-grønn, tolket som omdannet ultramafisk lava (komatiitt)
Amphibole-chlorite rock, greenish-grey, interpreted as metamorphosed ultramafic lava (komatiite)

35 — Leptitt, massiv, grå-rosa, fin- til middelskornet, stedvis granatførende, jernrik, tolket som omdannet dagbergart, muligens jernholdig ryolitt
Leptite, massive, grey-pink, fine- to medium-grained, in places garnet-bearing, iron-rich, interpreted as a metamorphosed volcanic rock, possibly ferruginous rhyolite

36 — Kvarts-feltspat skifer, med sjiktsilikatter og karbonatmineraler. Tolket som omdannet feltspat-og glimmer førende sandstein
Quartz-feldspar schist with phyllosilicates and carbonate minerals. Interpreted as metamorphosed feldspar-and mica-bearing sandstone

37 — Kvarts-feltspat skifer, for det meste kvartsrik. Tolket som kvartsittisk til arkosisk sandstein
Quartz-feldspar schist, mostly quartz-rich. Interpreted as quartzitic to arkosic sandstone

38 — Glimmerskifer og konglomerat, vanligvis karbonatførende, med boller av granitt og kvarts
Mica schist and conglomerate, commonly carbonate-bearing, with pebbles of gneiss and quartz

Formasjoner av usikker stratigrafisk stilling
Formation of uncertain stratigraphic position

39 — Glimmerskifer, biotittrik, med granat og stedvis kyanitt. Tolket som omdannet, leirrik sedimentær bergart
Mica schist with abundant biotite, contains garnet and in places kyanite. Interpreted as metasedimentary rock rich in clay

40 — Amphibol-kloritt bergart, grå-grønn, tolket som omdannet ultramafisk lava (komatiitt)
Amphibole-chlorite rock, greenish-grey, interpreted as a metamorphosed ultramafic lava (komatiite)

GNEIS AV USIKKER OPPRINNELSE, ANTATT OMDANNEDE DYPBERG-ARTER FRA ARKEISK, TIDLIG- OG MELLOMPROTEROZOISK TID
GNEISS OF UNCERTAIN ORIGIN, ASSUMED METAMORPHOSED PLUTONIC ROCKS OF ARCHAEAN, PALAEO- AND MESOPROTEROZOIC AGE

41 — Gneis, granodioritisk, grå eller rosa, middels- til grovkornet, båndet, stedvis med migmatitt og rød pegmatitt
Gneiss, granodioritic, grey or pink, medium- to coarse-grained, banded, in places with migmatite and red pegmatite

OMDANNEDE STEDEGNE OG NÆR STEDEGNE BERGARTER FRA TIDLIG- OG MELLOMPROTEROZOISK TID
METAMORPHOSED AUTOCHTHONOUS AND PARAUTOCH-THONOUS ROCKS OF PALAEO- AND MESOPROTEROZOIC AGE

GANGBERGARTER
HYPABYSSAL ROCKS

42 — Mafiske ganger, gabbroid sammensetning
Mafic dykes, gabbroic composition

OVERFLATEBERGARTER
SUPRACRUSTAL ROCKS

Skuvvanvarri-formasjonen
Skuvvanvarri Formation

43 — Kalkspatmarmor, grå, rødlig eller grønnlig, kvartssandholdig
Calcite marble, reddish- and greenish-grey, arenaceous

44 — Kvartsittisk sandstein, lysegrå, i middelstykke til tykke lag, stedvis albitt- og/eller fuchsittførende
Quartzitic sandstone, light grey, medium- to thick-bedded, in places albite- and/or fuchsite-bearing

45 — Omdannet sandstein, finkornet, lysegrå, rødlig eller grønnlig, feltspatrik, stedvis karbonatholdig. Lokalt med granittboller
Metasandstone, fine-grained, light grey, reddish- or greenish-grey, feldspar-rich, in places calcareous. Locally with granite pebbles

46 — Omdannet slamstein, grå, rødlig eller grønnlig, stedvis forskiftret, inneholder spredte boller, vanligvis karbonatholdig. Tolket som utrasningssediment
Metamudstone, grey, reddish-grey or greenish-grey, in places with slaty cleavage, contains scattered pebbles, generally carbonate-bearing. Interpreted as a débris-flow sediment

47 — Omdannet konglomerat, grå, rødlig eller grønnlig, grunnmassebåret, med boller av ulike bergarter, bevel fuchsittførende. Tolket som utrasningskonglomerat
Metaconglomerate, grey, reddish-grey or greenish-grey, matrix-supported, polymict, locally fuchsite-bearing. Interpreted as a debris-flow conglomerate

Vuomegielas-formasjonen
Vuomegielas Formation

48 — Amfibolitt, finkornet, fiolett, og hornblendeskifer, tolket som omdannet mafisk lava og vulkanogent sediment. Også noe lysegrønn klorittskifer tolket som omdannet, ultramafisk, vulkansk bergart (komatiitt)
Amphibolite, fine-grained, foliated, and hornblende schist, interpreted as metamorphosed mafic lava and volcanogenic sediment. Subordinate chlorite schist interpreted as metamorphosed ultramafic volcanic rock (komatiite)

JERGUL-GNEISKOMPLEKSET OMDANNEDE BERGARTER FRA ARKEISK TIL TIDLIGPROTEROZOISK TID
JERGUL GNEISS COMPLEX
METAMORPHOSED ROCKS OF ARCHAEAN TO PALAEOPROTEROZOIC AGE

GANGBERGARTER
HYPABYSSAL ROCKS

49 — Mafiske ganger (doleritt)
Mafic dykes (dolerite)

DYPBERGARTER
PLUTONIC ROCKS

50 — Granitt-granodioritt, lysegrå og rosa, foliert/ xenolitter av mafiske dypbergarter
Granite-granodiorite, light grey to pink, foliated/ xenoliths of mafic igneous rocks

51 — Urailttgabbro, magnetisk/ med migmattitiske soner
Uralite gabbro, magnetic/ with migmatitic zones

DYPBERGARTER FRA ANTATT ARKEISK TID
PLUTONIC ROCKS OF ASSUMED ARCHAEAN AGE

52 — Gneis, grå-hvit
Gneiss, white-grey

53 — Gneis, grå, båndet, tonalittisk sammensetning/ hornblendeførende
Gneiss, grey, banded, tonalitic composition, hornblende-bearing

GEOLOGISKE SYMBOLER
GEOLOGICAL SYMBOLS

Bergartsgrense, blottet, ekstrapolert/ tolket på grunnlag av topografi eller flyfoto, svart usikker
Lithological boundary, exposed, extrapolated on the basis of topography or aerial photographs, uncertain

Regional diskordans, observert, ekstrapolert
Regional unconformity, observed, extrapolated

Skyveforkastning for Karasjokgrønnsteinsbeltet, observert, ekstrapolert
Thrust-fault at the base of the Karasjok Greenstone Belt, observed, extrapolated

Skyveforkastning for Gáisá-dekkekomplekset, observert, ekstrapolert
Thrust-fault at the base of the Gáisá (Gaissa) Nappe Complex, observed, extrapolated

Mindre skyveforkastning, observert, ekstrapolert eller antatt på grunnlag av topografi / flyfoto
Minor thrust-fault, observed, extrapolated or assumed on the basis of topography or aerial photographs

Mindre ekstensjonsforkastning innenfor Gáisá-dekkekomplekset
Minor extensional fault within the Gáisá (Gaissa) Nappe Complex

Forkastning, store sprekk, sikker, usikker
Fault, major joint, certain, uncertain

Lagning eller foliasjon, med planets helning angitt (30° mot SØ, loddrett=90°, vannrett)
Bedding or foliation, with dip indicated (30° towards SE, vertical= 90°, horizontal)

Klav, med planets helning angitt (70° mot NV, loddrett= 90°)
Cleavage, with dip indicated (70° towards NW, vertical= 90°)

Foldeakse, stupning angitt (20° mot NØ), vannrett
Fold axis with plunge indicated (20° towards NE), horizontal

Akse for knekkfolding, stupning angitt (10° mot NØ)
Kink-fold axis with plunge indicated (10° towards NE)

Glidestriper på glidesprø
Slickenside lineation

Akseplantrasé for synform
Trace of synformal axial surface

Akseplantrasé for antiform
Trace of antiformal axial surface

Kvartsganger i Gáisádekkekompleset
Quartz veins in Gáisá Nappe Complex

Knusningssone, mylonitt
Brecciated zone, mylonite

Blokkfelter med blokker overveiende fra underlaget
Blockfield with blocks predominantly from the substratum

Blotninger
Exposures

A — A' Snittlinjer
Section lines

Geologisk karttagt og tolket av: (1) A.H.N. Rice og C.Townsend 1985, Gáisádekkekompleset og stedegne senproterozoiske til kambriske bergarter. (2) Karasjokgrønnsteinsbeltet: S.Johnsen 1984-86, T.Pharaoh 1983, 1986; beltet ble rekartlagt av B.Davidsen i 1986-91, med bidrag fra Rejsen Girard og Tor Otto Andreassen, 1989. Det er kartleggingen og tolkningen til Davidsen som er brukt i denne reviderte kartutgaven. (3) A.Siedlecka, 1983-86, området i den sydlig delen av kartet med Jergul-gneiskompleset og nærstedegne og stedegne overflatebergarter. Kartet er revidert og sammentegnet av A.Siedlecka, 2008-10.

Geology mapped and interpreted by: (1) A.H.N.Rice and C.Townsend 1985, Gaissa Nappe Complex and autochthonous Neoproterozoic to Cambrian rocks. (2) Karasjok Greenstone Belt: S.Johnsen, 1984-86, T.Pharaoh, 1983, 1986. The greenstone belt was re-mapped by B.Davidsen during the summers of 1986-91, with contributions from Rejsen Girard and Tor Otto Andreassen in 1989. It is Davidsen's mapping and interpretation which are used in this revised edition of the map-sheet. (3) A.Siedlecka, 1983-86; the area in the southern part of the map including the Jergul Gneiss Complex and parautochthonous to autochthonous sedimentary rocks. The map-sheet as a whole was revised and re-compiled by A.Siedlecka during the years 2008-2010.

I den engelske teksten er den gamle, etablerte stavemåten for geologiske enhetsnavn med samisk første leed tatt med i parentes slik den er benyttet i mange publikasjoner i norske og internationale tidsskriftar. Disse navnene er fremdeles i bruk i engelskspråklige publikasjoner
In the English translations we have included, in parentheses, the older but more familiar, established spellings of Sami names used in many publications in Norwegian and international journals. These names are still in use in English-language publications

Utvalgt litteratur:
Selected literature:

Andreassen, T.O. 1993: Strukturelle og tektoniske undersøkelser i de nordlige deler av Karasjok grønnsteinsbelte, Finnmark Fylke. Cand.scient.-oppgave i strukturgeologi. UiB, UiTø, 148 s.

Davidsen, B. 1994: Stratigrafi, petrologi og geokjemi med vekt på komatiittiske bergarter innen den nordligste del av Karasjok grønnsteinsbelte, Brennelv, Finnmark. Cand.scient. thesis, UiTø, 380 s.

Foyn, S. 1967: Dividal Gruppen ('Hyolithus Zonen') i Finnmark og dens forhold til de eokambriske-kambriske formasjoner. Norges geologiske undersøkelse 248, 1-84.

Rice, A.H.N. & Townsend, C. 1985: The Gaissa Nappe and Dividal Group of the Skoganvarre and Čakkarassa map sheets, Finnmark. Unpublished report to Norges geologiske undersøkelse

Rice, A.H.N. & Townsend, C. 1996: Correlation of the late Precambrian Ekkerøya Formation (Vadsø Group; E.Finnmark) and the Brennelvfjord Interbedded Member (Porsangerfjord Group; W. Finnmark), N. Norwegian Caledonides. Norsk Geologisk Tidsskrift 76, 55-61.

Townsend, C., Rice, A.H.N. & Mackay, A. 1989: The structure and stratigraphy of the southwestern portion of the Gaissa Thrust Belt and the adjacent Kalak Nappe Complex, Finnmark, N Norway. In: The Caledonides of Scandinavia (R.A.Gayer, ed.), Graham &Trotman, London, 111-126.

Kartgrunnlag: Statens kartverk N50 kartdata ifølge brukstillatelse
Digital produksjon: B.Evensen, Geodataforvaltning, NGU
Plotteversjon: November 2011

Foreløpige kart er ikke gjennomgått av NGU's kartredaksjon. De kan være sammensatt av data fra flere geologers kartlegging over lang tid og med ulike kartleggingsformål. Av dette følger at detaljerningsgraden kan være variabel. Kartene er produsert på fargeplotter.

Preliminary map sheets have not been controlled in detail by NGUs map editorial committee. Such maps can be compilations of data from the mapping of several geologists over different periods of time, and often with diverse mapping objectives. Consequently, the degree of detail can be quite variable. Preliminary map sheets are produced on a colour printer.

Referanse til kartet: Siedlecka, A., Davidsen, B., Rice, A.H.N. & Townsend C. 2011. Berggrunnsgeologisk kart SKOGANVÁRRI 2034 IV, M 1: 50 000, revidert foreløpig utgave. Norges geologiske undersøkelse

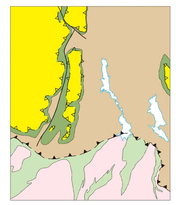

TEGNFORKLARING TIL NØKKELKART
LEGEND TO KEY MAP

- Gáisá-dekkekomplekset / *Gáisá (Gaissa) Nappe Complex*
- Stedegne sedimentære bergarter / *Autochthonous sedimentary rocks*
- Karasjokgrønnsteinsbeltet / *Karasjok Greenstone Belt*
- Omdannede stedegne og nær stedegne bergarter / *Metamorphosed autochthonous and parautochthonous rocks*
- Jergul-gneiskompleset / *Jergul Gneiss Complex*

Forenklet kart over litostratigrafiske enheter i den nordre delen av Karasjokgrønnsteinsbelte (etter Davidsen, 1994)
Simplified map showing lithostratigraphic units in the northern part of the Karasjok Greenstone Belt (after Davidsen, 1994)

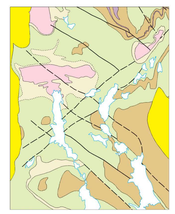

- Yngre bergarter, stedegne og skjøvne (nr. 2-17 på hovedkartet) / *Younger rocks, autochthonous and overthrust (no. 2-17 on the main map)*
- Fossestrandformasjonen (nr. 22 på hovedkartet) / *Fossestrand Formation (no. 22 on the main map)*
- Briltägielas-formasjonen (nr. 23-27 på hovedkartet) / *Briltägielas Formation (nos. 23-27 on the main map)*
- Čorgaš-formasjonen (nr. 28-32 på hovedkartet) / *Čorgaš Formation (nos. 28-32 on the main map)*
- Lavttevárri-formasjonen (nr. 33-38 på hovedkartet) / *Lavttevárri Formation (nos. 33-38 on the main map)*
- Basalgneiser (nr. 41 på hovedkartet) / *Basal gneisses (no. 41 on the main map)*

GEOLOGISKE TIDSENHETER
Geological time units

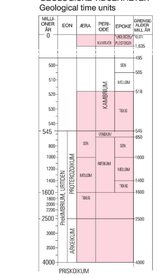

Etter Hag & van Eysinga, 1987. Plumb, Episodes Vol. 14, 1991, Gradstein & al 1994 og Tucker & McKerrow, 1995

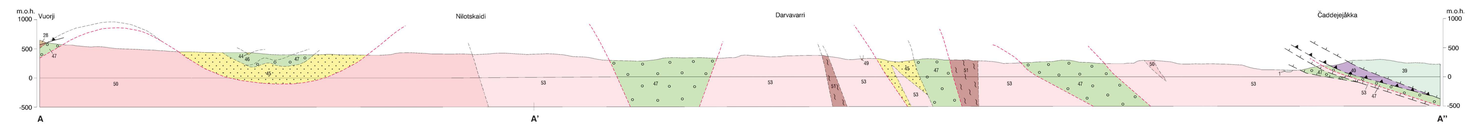

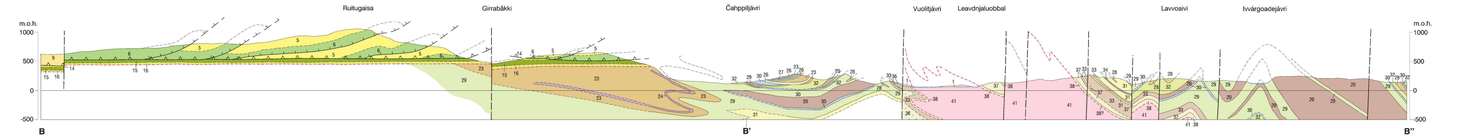

Målestokk 1 : 50 000

0 1 2 3 4 5 km

Ekvidistanse 20 m

STABBURS-DALEN 1935 II	LAKSELV 2035 III	MUNKA-VÁRRI 2035 II
ČAKKERASSA 1934 I	SKOGAN-VÁRRI 2034 IV	HÁLKA-VÁRRI 2034 I
IESJÁVRI 1934 II	STIBYAN-ÁIVÁ 2034 III	IDOJÁ-JÁVRI 2034 II